

第一章 半导体物理基础

能带的产生

价带 E_v	被价电子填满的能带
禁带 E_g	主要由自由电子占据的能带 $E_g = E_c - E_v$, 区分金属、半导体和绝缘体的关键参数

能带影响因素 能带受多种因素影响, 主要包括温度和掺杂。

温度影响	掺杂影响	本征激发
机制 温度升高 \rightarrow 晶格膨胀 \rightarrow 机制 掺杂浓度增加 \rightarrow 能带变窄 定义 价电子吸收热能跃迁至导带 原子间作用减弱 结果 E_g 变窄 结果 影响能带结构		空间电荷区形成: 扩散过的电子-空穴在交界面附近相遇并复合, 两侧各失去多子, 留下带正、负电的施、受主离子: N_D^+ 和 N_A^- 。交界面附近自由载流子被消耗殆尽, 形成空间电荷区 (也称耗尽区)

载流子统计分布

费米分布与载流子浓度 费米-狄拉克分布描述了量子态被电子占据的概率, 进而决定了半导体中载流子的浓度。

费米-狄拉克分布	$f(E) = \frac{1}{1 + \exp[(E - E_F)/kT]}$, 描述能量为 E 的量子态被电子占据的概率
费米-狄拉克分布	化学势的具体体现, $f(E_F) = 1/2$, 是表征半导体物理性质的参考能级
费米能级 E_F	$n_0 = N_c \exp[-(E_c - E_F)/kT]$, 其中 N_c 为导带有效状态密度
导带电子浓度	$p_0 = N_v \exp[-(E_F - E_v)/kT]$, 其中 N_v 为价带有效状态密度
价带空穴浓度	$n_0 p_0 = n_i^2 = N_c N_v \exp[-(E_g/kT)]$, n_i 只与温度和 E_g 有关
质量作用定律	

N型掺杂	施主原子提供电子, $n_0 \approx N_d$ (室温全电离), E_F 靠近 E_c
P型掺杂	受主原子提供空穴, $p_0 \approx N_a$ (室温全电离), E_F 靠近 E_v
补偿掺杂	同时掺入施主和受主, 多数载流子浓度由 $ N_d - N_a $ 决定

温度对载流子浓度的影响		
低温区 (冻结区)	中温区 (饱和区)	高温区 (本征区)
特征 杂质未完全电离	特征 杂质全电离, 本征激发可忽略	特征 本征激发占主导
结果 载流子浓度随温度升高而增加	结果 基本恒定, $n_0 \approx n_i$	结果 指数增长, $n_0 \approx p_0 \approx n_i$

费米能级位置的物理意义		
为后面 PN 结等接触分析做铺垫		
本征半导体	$E_F = E_i \approx (E_c + E_v)/2$ (禁带中央), $n_0 = p_0 = n_i$	
N型半导体	E_F 上移靠近 E_c , 掺杂越重 E_F 越接近 E_c	
P型半导体	E_F 下移靠近 E_v , 掺杂越重 E_F 越接近 E_v	
接触电势	不同材料接触时费米能级必须拉平, 形成内建电场 (PN 结、金半接触的基础)	

半导体的载流子运输

漂移运动		
定义	载流子在电场作用下的定向运动	定义 载流子在浓度梯度驱动下从高浓度向低浓度区的运动
漂移速度	$v_d = \mu E$, 其中 μ 为迁移率	扩散运动
漂移电流密度	$J_{drift} = nq\mu_n E + p\mu_p E$	扩散电流密 $J_{diff} = qD_n \frac{dn}{dx} - qD_p \frac{dp}{dx}$
• 迁移率 μ : 单位电场下载流子的平均漂移速度, 反映运动能力, 单位 $\text{cm}^2/(\text{V}\cdot\text{s})$, 受晶格散射和杂质散射影响		• 扩散系数 D : 爱因斯坦关系 $D = \frac{kT}{q}$
• 饱和速度 v_{sat} : 强电场下漂移速度趋于上限		

电子电流		
总电流密度	$J_n = qn\mu_n E + qD_n \frac{dn}{dx}$	
空穴电流	$J_p = qp\mu_p E - qD_p \frac{dp}{dx}$	
总电流	$J = J_n + J_p$ (漂移 + 扩散)	

非平衡载流子的产生与复合

过剩载流子		
非平衡态	外界作用 (光照、电压) 使载流子浓度偏离平衡, $n_p \neq n_i^2$	
过剩载流子	$\Delta n = n - n_0$, $\Delta p = p - p_0$. 小注入条件下 $\Delta n = \Delta p$	

复合与产生		
复合	电子从导带跃迁至价带, 与空穴湮灭, 释放能量 (光子或声子)	
产生	价带电子吸收能量跃迁至导带, 产生电子-空穴对	
平衡态	$G = R$ (产生率 = 复合率), 载流子浓度恒定	

直接复合		
机制	电子直接跃迁至价带	间接复合
特点	发光 (GaAs 等直接带隙)	机制 通过复合中心 (杂质、缺陷) 特点 S _i 、G、等间接带隙半导体

载流子寿命与扩散长度		
寿命 τ	过剩载流子衰减至 $1/e$ 的时间, $\Delta n(t) = \Delta n(0)e^{-t/\tau}$	扩散长度 L
	过剩载流子在寿命内扩散的平均距离, $L = \sqrt{D\tau}$	

定义		
准费米能级	非平衡态下, 电子和空穴各有独立的费米能级: E_{Fn} (电子)、 E_{Fp} (空穴)	
载流子浓度	$n = n_i e^{(E_{Fn} - E_i)/kT}$, $p = n_i e^{(E_i - E_{Fp})/kT}$	
平衡态极限	$E_{Fn} = E_{Fp} = E_F$, $np = n_i^2$	

PN 结的形成过程		
制备方法	通过不同工艺引入杂质, 形成特定的杂质浓度分布 $N(x)$, 进而影响 PN 结的电学特性。	

扩散法		
过程	杂质从表面向内部扩散	合金法
结类型	线性扩散	金属杂质熔化后重结晶
特点	浓度随距离 x 逐渐变化	过程
		离子注入法
		过程 高能离子束轰击半导体
		结类型 高斯分布
		特点 峰值在投影射程 R_p 处

PN 结平衡过程		
• 初始状态:	因浓度梯度, P 区空穴向 N 区扩散, N 区电子向 P 区扩散	

• 空间电荷区形成: 扩散过的电子-空穴在交界面附近相遇并复合, 两侧各失去多子, 留下带正、负电的施、受主离子: N_D^+ 和 N_A^- 。交界面附近自由载流子被消耗殆尽, 形成空间电荷区 (也称耗尽区)

• 内建电场与动态平衡:

内建电场 平衡条件 热平衡态 空间电荷区分离正负电荷, 形成从 N 区指向 P 区的电场 E_i 。
扩散流密度 J_{diff} 与漂移流密度 J_{drift} 大小相等、方向相反, $J_{total} = 0$
费米能级 E_F 拉平, 无宏观净电流, 但微观载流子交换持续

平衡 PN 结 平衡状态下 PN 结的能带结构:



电子从 N 区向 P 区运动需克服势能差 eV_{bi} (阻挡多子继续扩散的势垒高度), 维持动态平衡。

• 电荷中性条件: $N_A x_p = N_D x_n$, 耗尽层展宽与掺杂浓度成反比

内建电场 $E(x)$: 单边突变结自动删除高掺杂侧:

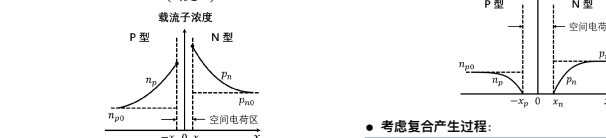
空间电荷区宽度: 单边突变结总宽度为低掺杂侧耗尽宽度。

$$\begin{aligned} P \text{ 侧宽度 } x_p &= \sqrt{\frac{2\varepsilon_s V_{bi}}{e}} \cdot \frac{N_D}{N_A(N_A + N_D)} \\ N \text{ 侧宽度 } x_n &= \sqrt{\frac{2\varepsilon_s V_{bi}}{e}} \cdot \frac{N_A}{N_D(N_A + N_D)} \\ \text{总宽度 } W &= \sqrt{\frac{2\varepsilon_s V_{bi}}{e}} \cdot \frac{N_A + N_D}{N_A N_D} \end{aligned}$$

PN 结的直流特性 能带图正偏 N 侧能级上升 ($V_{bi} - V_a$), 反偏 N 侧能级下降 ($V_{bi} + V_R$)

PN 结正偏 $n_p(-x_p) = n_0 p_0 \exp(\frac{eV_a}{kT})$

PN 结反偏 少子分布如图所示:



• 考虑复合产生过程:

$$\begin{aligned} \text{反偏产生 } J_{gen} &= \frac{en_i W}{2\tau_0} \\ \text{反偏总电流 } J_R &= J_S + J_{gen} \\ \text{正偏复合 } J_{rec} &= \frac{eW n_i}{2\tau_0} \exp\left(\frac{eV_a}{2kT}\right) \\ \text{正偏总电流 } J &= J_{rec} + J_D \end{aligned}$$

正偏为少子扩散电流, 通过扩散电流公式可求边界电流:

$$J_p(x_n) = \frac{eD_p n_0}{L_p} \left[\exp\left(\frac{eV_a}{kT}\right) - 1 \right]$$

$$J_n(-x_p) = \frac{eD_n n_0}{L_n} \left[\exp\left(\frac{eV_a}{kT}\right) - 1 \right]$$

总电流 (肖克利方程) 为

$$J = J_S \left[\exp\left(\frac{eV_a}{kT}\right) - 1 \right]$$

• 温度特性: 温度升高, 电流密度变大, 虽然正偏还有缩小项, 但是不如反向饱和电流增加得多: $J_S \propto n_i^2$, $n_i \propto T^{3/2}$, $-E_g/(2kT)$

PN 结电容 两种电容: 势垒电容和扩散电容。

势垒电容 • 单位面积势垒电容: $C'_T = \frac{\varepsilon_s}{W} \frac{1}{V}$

扩散电容 • 小信号模型下计算扩散电阻、电容:

$$\begin{aligned} g_d &= \frac{(I_p + I_n)}{V_t} = \frac{I_D Q}{V_t} \\ C_d &= \frac{1}{2V_t} (I_p \tau_p + I_n \tau_n) \end{aligned}$$

动态开关特性 从关态转变到开态所需时间很短, 从开态转变到关态 ($+U \rightarrow -U$) 所需关闭时间却很长。

• 根本原因: 反向退出由 PN 结的电荷贮存引起 (正向导通时, 互相注入少子, 非平衡少子 (p_n, n_p) 在耗尽层附近扩散大量积累, 形成贮存电荷 Q)

• 关联规律: 正向导通 $I_F \uparrow \rightarrow$ 注入少子 $\uparrow \rightarrow$ 贮存电荷 $Q \uparrow \rightarrow$ 关断时清理时间 \uparrow , 恢复时间 \uparrow

正向导通 ($t < t_0$) 切换瞬间 ($t = t_0$) 贮存时间 t_s

物理 电流为正向偏置电流 跳变 贮存电荷使 PN 结物理保持 I_R 不变 过程 电压几乎全部加在电阻 R_p 上 $\rightarrow U_{2R}/2$ 取贮存电荷

• 衰减时间 t_f : 电流从 I_R 降至 $0.1I_R$, 耗尽层建立, 恢复高阻

• 恢复时间: $t_{rr} = t_f + t_s$, 让输出伴件有延迟, 决定了工作频率。

• 全流程详解:

正向导通 (1) 积累大量少子, 形成贮存电荷 Q

反偏施加 (1→2) 边界少子浓度瞬间下降但仍高于 p_{n0} , 扩散梯度维持“导通”特征, 外部电流恒定为 I_R

• 边界浓度降至 p_{n0} , 耗尽层开始建立

• 边界处载流子抽走, 耗尽层已建立, 深层残余电荷靠扩散/复合消失, 电流从 I_R 逐渐降至 0

• 贮存电荷量 Q 越大 t_{rr} 越长; 抽取速度 $I_R = U_2/R$ 越大 t_{rr} 越短

PN 结平衡过程 • 初始状态: 因浓度梯度, P 区空穴向 N 区扩散, N 区电子向 P 区扩散

提高开关速度的措施 • 途径一: 减小贮存电荷 Q :

减小正向电流 I_D

原理 $I_D \downarrow \Rightarrow V_a \downarrow \Rightarrow n_p \downarrow \Rightarrow eV_a/kT \downarrow$

结果 注入少子浓度降低, Q 减小

途径二: 加快 Q 消失 (最有效):

增大反向抽取电流

方法 使 $I_R = (U_2 - V)/R$ 增大

效果 $I_R \uparrow \Rightarrow t_{rr} \downarrow$

途径三: 在禁带中引入深能级复合中心

机制 Au 在禁带中引入深能级复合中心

效果 $\tau \downarrow$ 大幅降低, t_{rr} 可减至数十之一

途径四: 在禁带中引入深能级复合中心

机制 Au 在禁带中引入深能级复合中心

效果 $\tau \downarrow$ 大幅降低, t_{rr} 可减至数十之一

途径五: 在禁带中引入深能级复合中心

机制 Au 在禁带中引入深能级复合中心

效果 $\tau \downarrow$ 大幅降低, t_{rr} 可减至数十之一

途径六: 在禁带中引入深能级复合中心

机制 Au 在禁带中引入深能级复合中心

效果 $\tau \downarrow$ 大幅降低, t_{rr} 可减至数十之一

途径七: 在禁带中引入深能级复合中心

机制 Au 在禁带中引入深能级复合中心

效果 $\tau \downarrow$ 大幅降低, t_{rr} 可减至数十之一

途径八: 在禁带中引入深能级复合中心

机制 Au 在禁带中引入深能级复合中心

效果 $\tau \downarrow$ 大幅降低, t_{rr} 可减至数十之一

途径九: 在禁带中引入深能级复合中心

机制 Au 在禁带中引入深能级复合中心

效果 $\tau \downarrow$ 大幅降低, t_{rr} 可减至数十之一

途径十: 在禁带中引入深能级复合中心

• PMOS 转换说明：对于 P 型衬底 PMOS：(1) 将电压符号改为 V_{SG} 、 V_{SD} ，阈值电压改为 $|V_{TP}|$ ；(2) 移动率 $\mu_n \rightarrow \mu_p$ ；(3) 反型电荷为空穴 Q'_p ；(4) 电流方向从源极到漏极，公式形式不变： $I_D = \frac{W\mu_p C_{ox}}{L} [(V_{SG} - |V_{TP}|)V_{SD} - \frac{1}{2}V_{SD}^2]$ 。

CMOS 技术

第四章 MOSFET 深入

非理想效应

按比例缩小

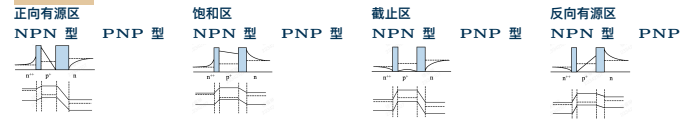
阈值电压修正

附加电学特性

辐射和热电子效应

第五章 双极型晶体管

工作原理 少子分布、能带图：



理想情况下，集电结边界的少子的浓度为零。希望从发射区注入的电子能越过基区扩散到集电结的空间电荷区，尽可能多的电子被集电极收集，而不是在基区复合，因此需要基区的宽度与扩散长度相比很小。

BJT 有共射、共基、共集三种接法，为了使三极管处于正向有源区，从而实现正常的电流放大作用，必须同时满足以下两个条件：

- 射结正向偏置：降低发射势垒，使发射区的高浓度多。
- 集电结反向偏置：在集电结建立较强的电场(耗尽层加宽)，有利于收集从基区扩散过来的少子。形成集电极电流 I_C 。

低频共基极电流增益

非理想效应

等效电路模型

频率上限

大信号开关

第六章 金半接触

肖特基接触

基本概念 • 同质/异质结：同种/不同材料形成的 PN 结。

• 金半结：金属与半导体的接触。

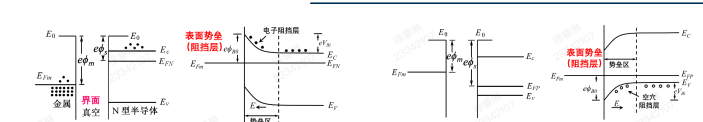
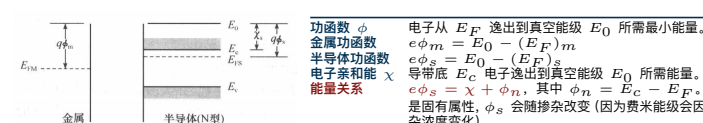
• 整流接触：

定义 在半导体表面形成了表面势垒，也称为阻挡层。类似于 PN 结，具有单向导电性（整流作用）。

特性 没有整流作用，电流可以双向自由流动。

命名 这就是我们通常所说的肖特基接触。

电子将从功函数小的地方跑到功函数大的地方，空穴则相反。



N 型肖特基接触 ($\phi_m > \phi_s$)

初始条件 $\phi_m > \phi_s \Rightarrow E_{Fm} < E_{Fn}$

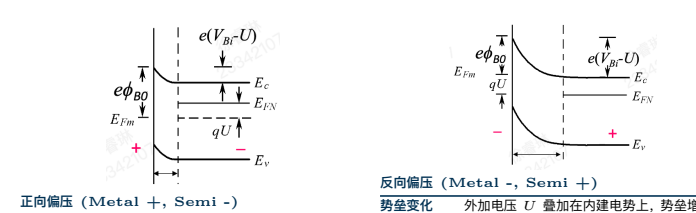
物理过程 电子自发从 N 型半导体流向金属；半导体侧失去电子带正电，形成耗尽层；

电荷分布 表面 n_s 降低，由 $n = N_c \exp[-(E_c - E_F)/kT]$ 知 E_c 向上弯曲

势垒形成 形成表面势垒 $e\phi_B$ （阻挡层），阻碍电子进入金属

平衡状态 热平衡建立，系统费米能级 E_F 处处拉平

施加偏压 (以 N 型接触为例):



正向偏压 (Metal +, Semi -)

势垒变化 外加电压 U 抵消内建电势，势垒降低为 $e(V_{bi} - U)$

物理过程 电子易于越过势垒从半导体流向金属

电流特性 产生巨大的正向电流

N 型计算

费米势 $\phi_n = V_t \ln(\frac{N_c}{N_d})$

肖特基势垒 $e\phi_B = e\phi_m - x$

内建电势 $V_{bi} = \phi_m - \phi_s = \phi_B - \phi_n$

通用特性 (N 代表 N_d 或 N_a)

参数说明 ϕ_B 一般题干直接给值，否则按上表计算。

耗尽层宽度 $W(x_n) = [\frac{2e(V_{bi} + V_R)}{eN}]^{1/2}$ (与单边突变一致)，其中 V_R 为外加反向偏压。

最大电场 $E_{max} = \frac{eNW}{\varepsilon}$

势垒电容 $C = A \frac{\varepsilon}{W} = A \left[\frac{e\varepsilon N}{2(V_{bi} + V_R)} \right]^{1/2}$

C - V 特性 $\frac{1}{C^2} = \frac{2}{e\varepsilon N A^2} (V_R + V_{bi})$ ，可由曲线斜率求 N ，截距求 V_{bi}

• 整流特性：正偏时半导体侧势垒降低，电流大；反偏时势垒升高，电流极小。由于金属电子浓度极高，金属侧势垒 $q\phi_B$ 随偏压几乎不变。

• 非理想因素 从这里开始讨论非理想因素，即为什么实际势垒不完全等于 $\phi_m - x$ 。

• 肖特基效应（像力降低）：

势能修正 和大物一样，靠近金属的电荷会感应出镜像电荷，引入负电势能项 $-\frac{e}{16\pi\varepsilon_s x}$ ，与电场叠加。

势垒降低 $\Delta\phi = \sqrt{\frac{eE}{4\pi\varepsilon_s}}$

总势能最高点 $x_m = \sqrt{\frac{e}{16\pi\varepsilon_s E}}$

表面态 禁带中由缺陷等引起的能级。施主型（失电子正电，受主型（得电子负电）。

中性能级 $E_F < \phi_0$ 呈正电， $E_F > \phi_0$ 呈负电。

物理机制 若 D_{it} 很大，表面态储存大量电荷，使 E_F 被“钉扎”在 ϕ_0 附近，势垒高度几乎与 ϕ_m 无关。就是一个经验值了。

电流-电压关系 • 热电子发射理论：

适用范围 描述肖特基接触电流传输的主流模型（适用于 Si, GaAs 等高迁移率半导体）。

核心假设 只有能量足够高 ($E > E_F + e\phi_B$) ($\phi_Bn = \phi_B - \Delta\phi$ ，是修正后的肖特基势垒) 的“热电子”才能从半导体进入金属，电流的大小取决于单位时间内能够“跳过”势垒高度的电子数量。

• 电流分量分析：

$J_{S \rightarrow m}$ 半导体 \rightarrow 金属：电子需克服势垒 $e(V_{bi} - V_A)$ 。正偏时势垒降低，电流指数级增加。

$J_{m \rightarrow S}$ $J_{m \rightarrow S} = A^* T^2 \exp\left(-\frac{e\phi_B n}{kT}\right) \exp\left(\frac{eV_A}{kT}\right)$

金属 \rightarrow 半导体：电子需克服势垒 $e\phi_B$ 。势垒固定，此分量视为常数（反向饱和电流）。

$J_{m \rightarrow S} = -A^* T^2 \exp\left(-\frac{e\phi_B n}{kT}\right)$

• 有效理查德森常数 A^* ：

表达式 $A^* = \frac{4\pi e m^* k^2}{h^3}$

物理意义 在理查德森常数中用有效质量 m^* 代替 m_0 ，反映了晶格势场对电子运动的影响。

• 肖特基二极管方程：

总电流密度 $J = J_{S \rightarrow m} + J_{m \rightarrow S} = J_{ST} [\exp\left(\frac{eV_A}{kT}\right) - 1]$

饱和电流密度 $J_{ST} = A^* T^2 \exp\left(-\frac{e\phi_B n}{kT}\right)$

$= A^* T^2 \exp\left(-\frac{e\phi_B 0}{kT}\right) \exp\left(\frac{e\Delta\phi}{kT}\right)$

因此， $J_{ST} \propto \exp\left(\frac{e\Delta\phi}{kT}\right)$

肖特基二极管与 PN 结对比

从电流输运机制和数量级两个维度，对比了两种二极管的特性

肖特基二极管 (SBD)

载流子类型 多子器件

电流机理 热电子发射理论

反向电流 J_{ST} 较大，随电压增加而增加（非饱和）

金属侧带负电，形成耗尽层；

半导体侧受主得到电子带负电，形成耗尽层；

金属侧带正电，能带弯曲降低，能带（ E_c, E_v ）向下弯曲

表面 p_s 降低，能带（ E_c, E_v ）向下弯曲

形成表面势垒 $e\phi_B$ （阻挡层），阻碍空穴进入金属

热平衡建立，系统费米能级 E_F 处处拉平

PN 结二极管

载流子类型 少子器件

电流机理 少子扩散理论

反向电流 J_S 极小，具有良好的饱和特性

导通电压 高（约 0.3 V）

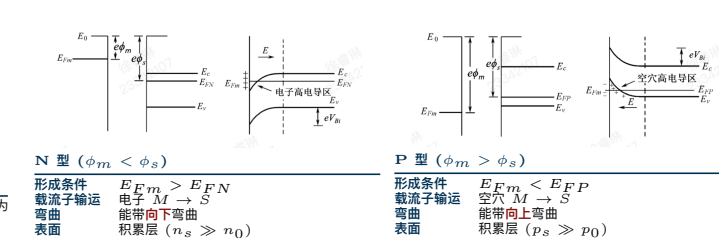
开关速度 快，无少子存储效应，仅受 RC 限制

高频率检波、高速开关、肖特基箝位位

应用 整流、稳压、一般逻辑电路

• 欧姆接触 由于表面态的存在，欧姆接触只是一个理想化模型。

• 反阻挡层：通常 Schottky 接触形成耗尽层起阻挡作用，而此处形成积累层，电导率极高，不仅不阻挡电流反而比体内更利于导电，故称“反”阻挡层。



N 型 ($\phi_m < \phi_s$)

形成条件 $E_{Fm} > E_{FN}$

载流子运输 电子 $M \rightarrow S$

弯曲 弯曲向下

表面 积累层 ($n_s \gg n_0$)

P 型 ($\phi_m > \phi_s$)

形成条件 $E_{Fm} < E_{FP}$

载流子运输 空穴 $M \rightarrow S$

弯曲 弯曲向上

表面 积累层 ($p_s \gg p_0$)

● 结论：只要接触使半导体表面的多数载流子浓度增加（形成积累层），就能实现欧姆接触。

● 施加偏压带图：高电势一侧能带向下弯曲，低电势一侧能带向上弯曲。

给半导体一侧施加负电压 (N 沟道)

给半导体一侧施加正电压 (N 沟道)

第六章 结型场效应晶体管

基本概念

器件特性

非理想因素

等效电路和频率限制

课后习题整理

这里仅整理作业题以及期中考试习题，不包含章节后习题。

半导体材料物理

- 期中-01：请简述费米能级的物理意义，并说出影响费米能级位置的因素以及在其影响下费米能级如何变化。
答：费米能级指半导体中被电子占据概率为 0.5 的假定能级（5 分），标志着电子填充能级的水平，能量低于 E_F 的能级被电子占据的概率大于 0.5，能量高于 E_F 的能级被电子占据的概率小于 0.5。费米能级的位置受温度和半导体掺杂浓度影响。对于 p 型掺杂，随着掺杂浓度增加费米能级向价带方向移动；对于 n 型掺杂，掺杂浓度增加费米能级向导带方向移动；掺杂半导体随着温度升高本征激发逐渐主导时，费米能级向本征费米能级移动（5 分）。

PN 结

PN 结的形成过程 这部分没有习题，所以对应的我前面整理的也比较少。

- 平衡 PN 结 ● 课堂练习-C2-01：硅 pn 结所处环境温度为 300K，掺杂浓度为 $N_A = 10^{16} \text{ cm}^{-3}$, $N_d = 10^{15} \text{ cm}^{-3}$, 计算 pn 结中的空间电荷区宽度 W 和零偏时结内的最大电场 E_{\max} 。

- 启示：就是单纯地练习公式，注意单位换算就行。
● 答：

$$\begin{aligned} V_{bi} &= \frac{kT}{e} \ln \left(\frac{N_A N_D}{n_i^2} \right) = V_t \ln \left(\frac{N_A N_D}{n_i^2} \right) = 0.635 \text{ V} \\ W &= \left\{ \frac{2\epsilon_s V_{bi}}{e} \left[\frac{N_a + N_d}{N_a N_d} \right] \right\}^{1/2} \\ &= \left\{ \frac{2(11.7)(8.85 \times 10^{-14})(0.635)}{1.6 \times 10^{-19}} \left[\frac{10^{16} + 10^{15}}{(10^{16})(10^{15})} \right] \right\}^{1/2} \\ &= 0.951 \times 10^{-4} \text{ cm} = 0.951 \mu\text{m} \\ x_n &= \left(\frac{2\epsilon_s V_{bi}}{e} \cdot \frac{N_A}{N_D} \cdot \frac{1}{N_A + N_D} \right)^{1/2} = 0.864 \times 10^{-4} \text{ cm} \\ E_{\max} &= \frac{-e N_d x_n}{\epsilon_s} = \frac{-(1.6 \times 10^{-19})(10^{15})(0.864 \times 10^{-4})}{(11.7)(8.85 \times 10^{-14})} = -1.34 \times 10^4 \text{ V/cm} \end{aligned}$$

问答题整理 孟庆巨版本教材：红色题干为作业、课件出现过的题目。

界面态对肖特基势垒高度 在大多数实用的肖特基势垒中，**界面态在决定 ϕ_b 数值中处于支配地位**，势垒高度基本上与两个因素有关：一个功函数差以及半导体中的掺杂度无关。由于表面态密度无法预知，势垒高度通常为经验值。加偏压时肖特基势垒能带图中 $q\phi_b$ 几乎不变的原 因是 $q\phi_b$ 几乎不变。

- 肖特基势垒二极管与 PN 肖特基势垒二极管是**多子器件**，PN 结二极管是**少子器件**。主要区别：
肖特基势垒二极管的区别
(1) 无少数载流子存储，存储时间可忽略，适合高频和快速开关；
(2) 多数载流子电流远高于少数载流子，饱和电流远高于同面积 PN 结二极管；
(3) 对同样电流，肖特基势垒上的正向电压降远低于 PN 结，适合倍压和限幅应用；
(4) 多子数目起伏小，噪声小；
(5) 温度特性好。

金属与重掺杂半导体接触 若半导体为重掺杂（如 10^{19} cm^{-3} 或更高），空间电荷层宽度极薄，载流子可隧道穿透而不能形成欧姆接触。若半导体为轻掺杂，则两侧电子均可隧穿，正反向偏压下 $I-V$ 曲线基本对称，表现为非整流、低电阻的欧姆接触。

第四次作业相关：

在理想情况下，金属和半 导体之间形成非整流接触

势垒的条件是什么？

画出 n 型欧姆接触时，零 偏、正偏、反偏条件下的能带图

根据给出的金属与半导体，原则就是让金属的费米能级不变，然后让半导体的费米能级和金属对齐，画出弯曲的能带图即 可。然后根据半导体类型以及载流子的流向标注是阻挡层还是反阻挡层。